

УДК 531.383

К ДИНАМИКЕ ТВЕРДОГО ТЕЛА, РАЗМЕЩЕННОГО  
В ПОДВИЖНОЙ ПОЛОСТИ С ЖИДКОСТЬЮ

ЗОЛОТЕНКО Г. Ф.

Твердое тело, размещенное в полости с жидкостью, моделирует разнообразные объекты природы и техники. В [1–5] исследовались случаи геометрически подобных тел и полостей, разделенных слоем вязкой жидкости. Более общий случай, когда тело и полость имеют осесимметричную форму, но не обязательно геометрически подобны, рассмотрен в [6]. Динамика относительного движения твердого тела и жидкости, находящихся в полости произвольной формы на некотором подвижном объекте, рассматривается в [7].

В публикуемой работе исследуется движение физического маятника, имеющего произвольную форму и установленного в полости, совершающей плоскопараллельное движение. Проанализирована структура основных динамических величин, характеризующих движение маятника и жидкости. Выведено уравнение движения маятника относительно полости. Классифицированы силы инерции гидродинамической природы, обусловленные движением полости. Получены условия, при выполнении которых маятник становится невозмущаемым [8].

1. Рассмотрим физический маятник, расположенный в подвижной полости, целиком заполненной жидкостью и совершающей плоскопараллельное движение (фигура). С полостью жестко связана система координат  $Oxyz$ , с маятником —  $O\xi\eta\xi$ . Начало обеих систем координат совпадает с точкой подвеса маятника  $O$ . Движение полости рассматривается относительно инерциальной системы координат  $O_1x_1y_1z_1$ , а ее положение определяется координатами  $x_0, y_0, z_0$  точки  $O$  и угловой координатой  $\vartheta$ . Движение маятника рассматривается в подвижной системе координат  $Oxyz$  и определяется угловой координатой  $\alpha$ .

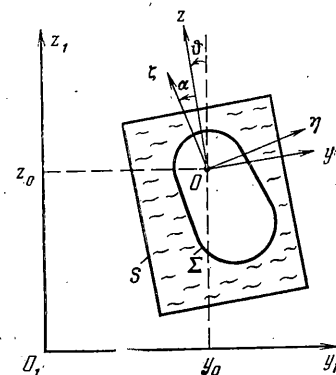
Жидкость считается идеальной и несжимаемой, а ее движение — потенциальным. Потенциал абсолютной скорости жидкости представляется в виде [7]:

$$\Phi(x, y, z, t) = v_y y + v_z z + \vartheta \Omega(x, y, z) + \alpha \Psi(x, y, z) \quad (1.1)$$

Здесь  $x, y, z$  — координаты произвольной точки объема, занятого жидкостью, в системе координат  $Oxyz$ ,  $t$  — время,  $v_y, v_z$  — проекции абсолютной скорости точки  $O$  на оси  $y, z$ ,  $\vartheta$  — абсолютная угловая скорость полости,  $\alpha$  — относительная угловая скорость маятника,  $\Omega(x, y, z)$ ,  $\Psi(x, y, z)$  — единичные потенциалы, определяемые из условий непротекания, заданных на поверхности полости  $S$  и поверхности маятника  $\Sigma$ . Эти условия имеют вид ( $v_y, v_z$  — проекции орта  $\mathbf{v}$  внешней нормали к граничным поверхностям)

$$\partial\Omega/\partial v|_{S+\Sigma} = yv_z - zv_y, \partial\Psi/\partial v|_S = yv_z - zv_y \quad (1.2)$$

В системе координат  $Oxyz$ , жестко связанной с полостью, поверхность  $S$  неподвижна, а положение поверхности  $\Sigma$  зависит от угла  $\alpha$ . Следовательно, функции  $\Omega, \Psi$  также зависят от  $\alpha$ , т. е.  $\Omega = \Omega(x, y, z, \alpha)$ ,  $\Psi = \Psi(x, y, z, \alpha)$ .



Кинетическая энергия маятника определяется выражением [9]:

$$T_1 = \frac{1}{2} [m v_0^2 + 2m (\mathbf{v}_0 \times \boldsymbol{\omega}) \cdot \mathbf{l} + \boldsymbol{\omega} \cdot \Theta \cdot \boldsymbol{\omega}] + m \mathbf{v}_0 \cdot (\boldsymbol{\omega}' \times \mathbf{l}) + \boldsymbol{\omega} \cdot \Theta \cdot \boldsymbol{\omega}' + \frac{1}{2} \boldsymbol{\omega}' \cdot \Theta \cdot \boldsymbol{\omega}' \quad (1.3)$$

Здесь  $T_1$  — кинетическая энергия абсолютного движения маятника,  $m$  — масса маятника,  $\mathbf{v}_0$  — абсолютная скорость точки  $O$ ,  $\boldsymbol{\omega}$  — угловая скорость полости,  $\mathbf{l}$  — радиус-вектор центра масс маятника относительно точки  $O$ ,  $\Theta$  — тензор инерции маятника в точке  $O$  с компонентами в системе координат  $Oxyz$ ,  $\boldsymbol{\omega}'$  — угловая скорость маятника относительно полости. Заметим, что  $\boldsymbol{\omega} = (\dot{\vartheta}, 0, 0)$ ,  $\boldsymbol{\omega}' = (\alpha, 0, 0)$  в системе координат  $Oxyz$ .

Согласно определению, кинетическая энергия жидкости имеет вид

$$T_2 = \frac{1}{2} \rho \int \mathbf{v} \cdot \mathbf{v} d\tau \quad (1.4)$$

Здесь  $\rho$  — массовая плотность жидкости,  $\mathbf{v}$  — абсолютная скорость частиц жидкости,  $\tau$  — объем, занятый жидкостью. Полагая  $\mathbf{v} = \text{grad } \Phi$ , где потенциал  $\Phi$  определяется по формуле (1.1), с помощью теорем Грина и Гаусса-Остроградского можно показать, что кинетическая энергия жидкости представима в виде [7]:

$$T_2 = \frac{1}{2} [m_1 v_0^2 + 2m_1 (\mathbf{v}_0 \times \boldsymbol{\omega}) \cdot \mathbf{r}_1 + \boldsymbol{\omega} \cdot J_0 \boldsymbol{\omega}] - m^0 \mathbf{v}_0 \cdot (\boldsymbol{\omega}' \times \mathbf{r}_0) + \boldsymbol{\omega} \cdot J_1 \boldsymbol{\omega}' + \frac{1}{2} \boldsymbol{\omega}' \cdot J_2 \boldsymbol{\omega}' \quad (1.5)$$

где  $m_1$  — масса жидкости в полости,  $\mathbf{r}_1$  — радиус-вектор центра масс жидкости относительно точки  $O$ ,  $m^0$  — масса жидкости, вытесненной маятником,  $\mathbf{r}_0$  — радиус-вектор центра масс жидкости, вытесненной маятником,  $J_0$ ,  $J_1$ ,  $J_2$  — матричные величины, характеризующие динамику жидкости и выражаются через единичные потенциалы скорости жидкости. В случае потенциала вида (1.1) матрицы  $J_0$ ,  $J_1$ ,  $J_2$  имеют вид

$$J_0 = \begin{vmatrix} \gamma & 0 & 0 \\ 0 & 0 & 0 \\ 0 & 0 & 0 \end{vmatrix}, \quad J_1 = \begin{vmatrix} \mu & 0 & 0 \\ 0 & 0 & 0 \\ 0 & 0 & 0 \end{vmatrix}, \quad J_2 = \begin{vmatrix} \lambda & 0 & 0 \\ 0 & 0 & 0 \\ 0 & 0 & 0 \end{vmatrix}. \quad (1.6)$$

$$\gamma = \rho \int_{S+\Sigma} \Omega \frac{\partial \Omega}{\partial \mathbf{v}} dS, \quad \mu = \rho \int_{S+\Sigma} \Omega \frac{\partial \Psi}{\partial \mathbf{v}} dS, \quad \lambda = \rho \int_{S+\Sigma} \Psi \frac{\partial \Psi}{\partial \mathbf{v}} dS \quad (1.7)$$

Поскольку функции  $\Omega$ ,  $\Psi$  и положение поверхности  $\Sigma$  зависят от  $\alpha$ , величины  $\gamma$ ,  $\mu$ ,  $\lambda$  также зависят от  $\alpha$ .

Считая маятник и жидкость носимыми телами, а полость несущим телом, основные динамические величины, характеризующие относительное движение носимых тел, можно представить в виде

$$K = [(\theta_{11} + \mu) \alpha'; \theta_{21} \alpha'; \theta_{31} \alpha'], \quad T = \frac{1}{2} (\theta_{11} + \lambda) \alpha'^2$$

$$Q = [0; -(ml_z - m^0 r_z) \alpha'; (ml_y - m^0 r_y) \alpha'] \quad (1.8)$$

Здесь  $K$  — кинетический момент относительного движения носимых тел,  $T$  — кинетическая энергия относительного движения носимых тел,  $Q$  — главный вектор относительных количеств движения носимых тел,  $\theta_{11}$ ,  $\theta_{21}$ ,  $\theta_{31}$  — компоненты тензора инерции маятника  $\Theta$ ,  $l_y$ ,  $l_z$  и  $r_y$ ,  $r_z$  — проекции на оси  $y$ ,  $z$  векторов  $\mathbf{l}$  и  $\mathbf{r}_0$  соответственно.

Формулы (1.8) используются в дальнейшем при выводе уравнения Лагранжа второго рода, описывающего движение маятника и жидкости относительно полости.

2. В рамках модели идеальной жидкости уравнение относительных колебаний маятника и жидкости записывается в виде [9]:

$$E(T) = Q_\alpha - E[(\mathbf{v}_0 \times \boldsymbol{\omega}) \cdot M \mathbf{r}_c] - \frac{1}{2} E[\boldsymbol{\omega} \cdot (\Theta + J_0) \boldsymbol{\omega}] - E(\mathbf{v}_0 \cdot \mathbf{Q}) - E(\boldsymbol{\omega} \cdot \mathbf{K})$$

$$E = \left[ \frac{d}{dt} \left( \frac{\partial}{\partial \alpha'} \right) - \frac{\partial}{\partial \alpha} \right] \quad (2.1)$$

Здесь  $Q_\alpha$  — обобщенные активные силы, действующие на маятник и жидкость;  $M$  — сумма масс маятника и жидкости,  $\mathbf{r}_c$  — радиус-вектор относительно точки  $O$  общего центра масс маятника и жидкости. Имеет место равенство [9]:

$$E[(\mathbf{v}_0 \times \boldsymbol{\omega}) \cdot M \mathbf{r}_c] + \frac{1}{2} E[\boldsymbol{\omega} \cdot (\Theta + J_0) \boldsymbol{\omega}] + E(\mathbf{v}_0 \cdot \mathbf{Q}) = M \mathbf{w}_0 \cdot \partial \mathbf{r}_c / \partial \alpha - \frac{1}{2} \boldsymbol{\omega} \cdot (\Theta + J_0) \boldsymbol{\omega} \quad (2.2)$$

где  $\mathbf{w}_0$  — абсолютное ускорение точки  $O$ . Кроме того, между радиусами-векторами центров масс жидкости, окружающей маятник, и жидкости, вытесненной маятником, имеется связь, определяемая соотношением

$$m^0 \mathbf{r}_0 + m_1 \mathbf{r}_1 = (m^0 + m_1) \mathbf{r}_2 = \text{const} \quad (2.3)$$

где  $\mathbf{r}_2$  — радиус-вектор центра масс жидкости, целиком заполняющей полость в случае, когда маятник отсутствует. Формула (2.3) позволяет перейти в уравнении движения к силам Архимеда. В дальнейшем считается, что центры масс маятника и вытесненной им жидкости лежат на оси  $Oz$ , т.е.  $\mathbf{l} = (0, 0, l_z)$ ,  $\mathbf{r}_0 = (0, 0, r_z)$ . Пользуясь равенством  $\mathbf{r}_c = [m\mathbf{l} + (m^0 + m_1)\mathbf{r}_2 - m^0 \mathbf{r}_0]/M$  и проектируя все векторы на оси системы координат  $Oxyz$ , приходим к выражению

$$M \mathbf{w}_0 \cdot \partial \mathbf{r}_c / \partial \alpha = (w_y \cos \alpha + w_z \sin \alpha) (m^0 r_z - m l_z) \quad (2.4)$$

где  $w_y$ ,  $w_z$  — проекции абсолютного ускорения точки  $O$  на оси  $y$ ,  $z$ .

Из активных сил, действующих на маятник и жидкость, учитываются силы тяготения. Считается, что эти силы, действующие на массы  $m$ ,  $m^0$ ,  $m_1$ , сводятся к равнодействующим, приложенным в соответствующих центрах масс. Определяя работу сил тяготения на виртуальных перемещениях носимых тел и переходя к обобщенным силам, находим

$$Q_\alpha = -(m l_z - m^0 r_z) (j_z \sin \alpha + j_y \cos \alpha) \quad (2.5)$$

В (2.5)  $j_y$ ,  $j_z$  — проекции на оси  $y$ ,  $z$  вектора  $\dot{\mathbf{r}}$  ускорения силы тяготения. С помощью формул (1.8), (2.2), (2.4) и (2.5) уравнение относительных колебаний маятника и жидкости (2.1) представляется в виде

$$(\theta_{11} + \lambda) \alpha'' = -\frac{1}{2} \alpha'^2 \partial \lambda / \partial \alpha - (m l_z - m^0 r_z) \quad (2.6)$$

$$[ (j_y - w_y) \cos \alpha + (j_z - w_z) \sin \alpha ] + \frac{1}{2} \vartheta'^2 \partial \gamma / \partial \alpha - (\theta_{11} + \mu) \vartheta''$$

При вычислении эйлеровых операторов учитывалось, что величины  $\lambda$ ,  $\gamma$ ,  $\mu$  зависят от времени, поскольку  $\lambda = \lambda(\alpha)$ ,  $\gamma = \gamma(\alpha)$ ,  $\mu = \mu(\alpha)$ .

Уравнение (2.6) может рассматриваться как уравнение относительных колебаний маятника, если гидродинамические параметры известны.

3. Твердое тело, движущееся в безграничном объеме идеальной жидкости, подвержено действию так называемых инерционных гидродинамических сил. Рассмотрим гидродинамические силы, действующие на маятник в случае, когда он находится в ограниченном подвижном объеме жидкости.

Предположим, что полость находится вблизи поверхности Земли и силу тяготения можно приближенно считать равной силе тяжести. Если ось  $Oz_1$  направлена вертикально вверх, то ( $g$  — ускорение силы тяжести):

$$j_y = -g \sin \vartheta, \quad j_z = -g \cos \vartheta \quad (3.1)$$

Рассмотрим неподвижную полость. В этом случае  $\vartheta = \vartheta' = \vartheta'' = 0$  и  $w_y = w_z = 0$ . Уравнение колебаний маятника принимает вид

$$(\theta_{11} + \lambda) \alpha'' = -\frac{1}{2} \alpha'^2 \partial \lambda / \partial \alpha + (m l_z - m^0 r_z) g \sin \alpha \quad (3.2)$$

и отличается от известного [10] уравнения колебаний маятника в безграничном объеме жидкости слагаемым

$$I_0 = -\frac{1}{2} \alpha'^2 \partial \lambda / \partial \alpha \quad (3.3)$$

Появление этого слагаемого обусловлено наличием поверхности  $S$  и, как следствие, зависимостью величины  $\lambda$  от  $\alpha$ . Из физических соображе-

ний следует, что при удалении поверхности  $S$  от маятника ее влияние на движение маятника и жидкости уменьшается. В пределе, когда поверхность  $S$  удалена в бесконечность, ее форма не влияет на движение жидкости, следовательно, параметр  $\lambda$  не зависит от  $\alpha$  и  $I_0=0$ . В этом случае уравнение (3.2) совпадает с известным уравнением. Таким образом, в случае безграничной жидкости параметр  $\lambda$  является присоединенным моментом инерции жидкости. В ограниченном объеме жидкости параметр  $\lambda$ , который и в этом случае естественно назвать присоединенным моментом инерции, становится функцией положения тела.

Пусть теперь полость совершает поступательное движение, при котором  $\vartheta=\dot{\vartheta}=\ddot{\vartheta}=0$ ,  $w_y \neq 0$ ,  $w_z \neq 0$ . В этом случае уравнение колебаний маятника имеет вид  $(\theta_{11}+\lambda)\alpha''=-\frac{1}{2}\alpha'^2\partial\lambda/\partial\alpha+(ml_z-m^0r_z)[(g+w_z)\sin\alpha+w_y\cos\alpha]$ .

Отсюда видно, что при поступательном движении полости к моментам гидродинамических сил, действующих на маятник в неподвижной полости, добавляется момент

$$I_1=-m^0r_z(w_z\sin\alpha+w_y\cos\alpha) \quad (3.4)$$

который, как и момент гидростатической силы Архимеда, выражается через массу вытесненной маятником жидкости  $m^0$ . Его можно классифицировать как обобщенную гидродинамическую силу инерции поступательного движения. Силы такой же природы рассматривались в [11] при горизонтальных ускорениях сосуда, содержащего жидкость и погруженное в нее тело.

Рассмотрим вращение полости в горизонтальной плоскости. В этом случае плоскость  $Oyz$  совпадает с горизонтальной плоскостью  $z$ , следовательно,  $j_y=j_z=0$ . Пусть вращение полости происходит вокруг оси, проходящей через точку  $O_1$ . Тогда проекции ускорения точки подвеса  $O$  на оси  $y$ ,  $z$  будут определяться соотношениями

$$w_y=R\dot{\vartheta}^2, w_z=R\dot{\vartheta}^2 \quad (3.5)$$

в которых  $R$  — расстояние от точки  $O_1$  до точки подвеса  $O$ . При равномерном вращении полости  $\dot{\vartheta}=\text{const}$  и уравнение колебаний маятника (2.6) принимает вид

$$(\theta_{11}+\lambda)\alpha''=-\frac{1}{2}\alpha'^2\partial\lambda/\partial\alpha+[(ml_z-m^0r_z)R\sin\alpha+\frac{1}{2}\partial\gamma/\partial\alpha]\dot{\vartheta}^2 \quad (3.6)$$

В этом случае кроме уже отмеченных сил проявляется сила (обобщенная) гидродинамического происхождения

$$I_2=\frac{1}{2}\dot{\vartheta}^2\partial\gamma/\partial\alpha \quad (3.7)$$

которая, с одной стороны, обусловлена зависимостью  $\gamma=\gamma(\alpha)$ , а с другой — угловым движением полости. Обобщенную силу  $I_2$ , следуя [9], естественно назвать центробежной силой инерции.

Если полость вращается неравномерно, т. е.  $\dot{\vartheta} \neq \text{const}$ , уравнение движения маятника в горизонтальной плоскости при вращении полости в этой же плоскости имеет, очевидно, вид

$$\begin{aligned} (\theta_{11}+\lambda)\alpha''=&-\frac{1}{2}\alpha'^2\partial\lambda/\partial\alpha+(ml_z-m^0r_z)R(\dot{\vartheta}^2\cos\alpha+ \\ &+\dot{\vartheta}^2\sin\alpha)+\frac{1}{2}\dot{\vartheta}^2\partial\gamma/\partial\alpha-(\theta_{11}+\mu)\dot{\vartheta}^2 \end{aligned} \quad (3.8)$$

Сила гидродинамического происхождения, которая добавляется к ранее рассмотренным силам и определяется по формуле

$$I_3=-\mu\dot{\vartheta}^2 \quad (3.9)$$

обусловлена угловым ускорением полости и может быть названа обобщенной вращательной силой инерции.

Таким образом, на физический маятник, размещенный в подвижной полости, со стороны жидкости действуют кроме обычных гидростатической и инерционной силы силы инерции поступательного движения, центробежные и вращательные силы инерции.

4. Пусть точка  $O_1$  находится в центре Земли, а ось  $O_1z_1$  совпадает с осью Земли. Кроме того, точка подвеса маятника движется в плоскости  $O_1y_1z_1$  по окружности радиуса  $R$  с центром в точке  $O_1$ . В этом случае имеют место соотношения (ось  $Oz$  все время проходит через центр Земли):

$$\begin{aligned}x_0 &= 0, \quad y_0 = R \sin \vartheta, \quad z_0 = -R \cos \vartheta, \quad \vartheta \neq 0 \\w_y &= R\vartheta'', \quad w_z = R\vartheta'^2, \quad j_y = 0, \quad j_z = j.\end{aligned}\quad (4.1)$$

Уравнение движения маятника (2.6) с учетом соотношений (4.1) представимо в виде

$$\begin{aligned}(\theta_{11} + \lambda)\alpha'' &= -\frac{1}{2}\alpha'^2 \partial\lambda/\partial\alpha + (ml_z - m^0 r_z)[R\vartheta'' \cos \alpha + \\&+ (R\vartheta'^2 - j)\sin \alpha] + \frac{1}{2}\vartheta'^2 \partial\gamma/\partial\alpha - (\theta_{11} + \mu)\vartheta''\end{aligned}\quad (4.2)$$

Рассмотрим условия, которые должны быть удовлетворены, чтобы при произвольном движении полости по закону (4.1) ось  $Oz$  маятника все время проходила через центр Земли  $O_1$ . Такое движение маятника соответствует решению уравнения (4.2) вида

$$\alpha = \pi n \quad (n = 0, \pm 1, \dots) \quad (4.3)$$

которое возможно, если

$$\pm R(ml_z - m^0 r_z) = \theta_{11} + \mu, \quad \partial\gamma/\partial\alpha = 0 \quad (4.4)$$

Первое из условий (4.4) обобщает известное соотношение для маятника М. Шулера [8] на случай физического маятника, погруженного в жидкость. Оно может быть удовлетворено при соответствующем подборе величин  $m^0$ ,  $m$ ,  $l_z$ ,  $r_z$ . Второе из условий (4.4) можно удовлетворить, если должным образом выбрать форму полости. Например, в случае, когда полость имеет форму сферы, а точка подвеса маятника совпадает с центром сферы, условие  $\partial\gamma/\partial\alpha = 0$  выполняется. Покажем это.

Если  $S$  — сфера и точка подвеса  $O$  совпадает с центром сферы, то на поверхности  $S$  имеем  $yv_z - zv_y = 0$ . Следовательно, граничные условия (1.2) для функций  $\Omega$  и  $\Psi$  совпадут. В этом случае  $\Omega = \Psi$  и из (1.7) следует, что параметр  $\gamma$  определяется соотношением

$$\gamma = \rho \int_S \Psi \frac{\partial \Psi}{\partial v} dS \quad (4.5)$$

В интеграле (4.5) подынтегральные функции определены в точках поверхности  $S$ , координаты которых задаются в неподвижной относительно полости системе координат  $Oxyz$ . Переидем в (4.5) к координатам  $\xi$ ,  $\eta$ ,  $\zeta$  по формуле

$$x = A\xi, \quad y = \|x, y, z\|^t, \quad \xi = \|\xi, \eta, \zeta\|^t \quad (4.6)$$

в которой  $A$  — матрица направляющих косинусов между осями  $x$ ,  $y$ ,  $z$  и  $\xi$ ,  $\eta$ ,  $\zeta$ . Относительно системы координат  $O\xi\eta\zeta$  поверхность  $\Sigma$  не движется, т. е. в этой системе координат поверхность интегрирования не будет зависеть от  $\alpha$ . Обозначим через  $\phi(\xi, \eta, \zeta)$  функцию  $\Psi(x, y, z)$  после замены (4.6). Тогда из линейности замены переменных (4.6) и ортогональности матрицы  $A$  следует, что функция  $\phi(\xi, \eta, \zeta)$  удовлетворяет уравнению Лапласа и граничному условию

$$\partial\phi/\partial v|_\Sigma = \eta v_\xi - \zeta v_\eta = \partial\Psi/\partial v|_\Sigma \quad (4.7)$$

в котором  $v_\xi$ ,  $v_\eta$  — проекции орта нормали  $v$  на оси  $\eta$ ,  $\zeta$ . Поскольку граничное условие (4.7) от  $\alpha$  не зависит, функция  $\phi(\xi, \eta, \zeta)$  также не зависит от  $\alpha$ . Учитывая выражение (4.7) в формуле (4.5), получаем соотношение

$$\gamma = \rho \int_S \phi(\xi, \eta, \zeta) (\eta v_\xi - \zeta v_\eta) dS \quad (4.8)$$

в котором ни поверхность интегрирования  $\Sigma$ , ни подынтегральные функции не зависят от  $\alpha$ . Следовательно,  $\partial\gamma/\partial\alpha = 0$ .

Таким образом, маятник, размещенный в сферической полости с жидкостью, будет невозмущаемым, если для него выполняется первое из условий (4.4) и его точка подвеса совпадает с центром сферы. Расчет гидродинамического параметра  $\mu$ , входящего в условие невозмущаемости, связан с решением соответствующей гидродинамической задачи. Для случая цилиндра в сфере такая задача решалась вариационным методом в работе [12].

## ЛИТЕРАТУРА

1. Черноуско Ф. Л. Движение твердого тела с полостями, содержащими вязкую жидкость. М.: ВЦ АН СССР, 1968. 230 с.
2. Городецкий О. М. Исследование возмущающих моментов вязкого трения в подвесе сферического поплавкового гироскопа.—Изв. АН СССР. МТТ, 1977, № 4, с. 20–26.
3. Ерсанов Ж. С., Калыбаев А. А., Баймухаметов А. А. Вращение динамически симметричного тела и шара, разделенных сферическим слоем вязкой жидкости.—Изв. АН КазССР. Сер. физ.-мат., 1978, № 5, с. 45–51.
4. Андрейченко К. П. О возмущающих моментах в поплавковом гироскопе на вибраторирующем основании.—Изв. АН СССР. МТТ, 1979, № 4, с. 11–17.
5. Валько А. Д., Озерская З. И. К определению величины поддерживающей силы в поплавковых приборах при колебательном движении поплавка.—Изв. АН СССР. МТТ, 1980, № 2, с. 19–28.
6. Микишев Г. Н., Столбецов В. И. О колебаниях тела в ограниченном объеме вязкой жидкости.—Изв. АН СССР. МЖГ, 1983, № 1, с. 22–30.
7. Луковский И. А., Золотенко Г. Ф. К теории движения твердого тела с полостями, содержащими жидкость и колеблющиеся в ней массы маятникового типа.—В кн.: Динамика и устойчивость механических систем. Киев: Изд-е Ин-та математики АН УССР, 1980, с. 30–49.
8. Ишлинский А. Ю. Ориентация, гироскопы и инерциальная навигация. М.: Наука, 1976. 670 с.
9. Лурье А. И. Аналитическая механика. М.: Физматгиз, 1961. 824 с.
10. Чаплыгин С. А. О движении тяжелых тел в несжимаемой жидкости.—В кн.: Собр. соч. Т. I. М.–Л.: Гостехиздат, 1948, с. 312–336.
11. Прайдтель Л. Гидроаэромеханика. М.: Изд-во Иностр. лит., 1949. 520 с.
12. Луковский И. А., Золотенко Г. Ф. К расчету гидродинамических сил, действующих на цилиндр при его колебаниях в сфере, целиком заполненной жидкостью.—В кн.: Прикладные методы исследования физико-механических процессов. Киев: Изд-е Ин-та математики АН УССР, 1979, с. 76–87.

Киев

Поступила в редакцию  
21.XII.1984